

## К ВОПРОСУ О РЕЗОНАНСНОМ ВЗАИМОДЕЙСТВИИ КОНЦЕНТРИРОВАННОГО ПОТОКА ЭНЕРГИИ С ВЕЩЕСТВОМ

*Ю. Н. Зорин, О. Ю. Мальцев, К. Б. Павлов,*

*М. А. Яковлев*

*(Москва)*

Интерес к исследованию процесса взаимодействия концентрированных потоков энергии (КПЭ) с металлами определяется необходимостью изучения поведения и свойств металлов в условиях высоких плотностей энергии при высоких температурах и больших давлениях, а также созданием источников концентрированной энергии и их многочисленными использованиеми в технологии обработки [1—4]. В настоящее время при рассмотрении процессов взаимодействия КПЭ с металлами большое внимание уделяется влиянию периодичности воздействия на повышение эффективности обработки материалов. Так, в [5] применение модуляции лазерного излучения при обработке отверстий позволило существенно увеличить их глубину. В [6] экспериментально показано наличие оптимального режима скважности при использовании импульсно-периодического режима генерации CO<sub>2</sub>-ЭИЛ для лазерной сварки. Теоретическое изучение реакции испарения металлической мишени на модуляцию интенсивности КПЭ [7—10] показало, что амплитудно-частотные характеристики отклика амплитуд температуры поверхности мишени и давления отдачи имеют экстремумы. Однако в этих работах исследование проводилось без учета поглощения энергии в испарившемся веществе, в то время как для ряда практических важных случаев (поглощение электронного луча в парах металла [3], поглощение лазерного излучения плазмой, образующейся у поверхности металла) поглощение энергии во многом определяет динамику процесса взаимодействия КПЭ с веществом. Так, даже при постоянной величине концентрации энергии в системе источник КПЭ — испаренная фаза — конденсированное вещество наблюдаются колебательные процессы [11].

В данной работе резонансные свойства системы луч — пар — металл при гармонической модуляции КПЭ изучаются на основе полной системы уравнений тепломассопереноса с учетом поглощения энергии в испаренной фазе.

**1. Постановка задачи.** Рассмотрим одномерную задачу. Источник КПЭ с плотностью потока  $q_H$  находится на уровне  $x = H$  (рис. 1). Для того чтобы граница фазового перехода пар — расплав при испарении оставалась фиксированной на уровне  $x = 0$  (в случае  $q_H = \text{const}$ ), расплав подается вдоль оси  $x$  со скоростью  $U$ . Значение  $U$  определяется величиной  $q_H$ , установившимся газодинамическим режимом в паре и характеристиками материала.

Система уравнений, описывающих процессы разлета паров и поглощения энергии в области  $0 \leq x \leq H$ , имеет вид

$$(1.1) \quad \begin{aligned} -\frac{\partial \rho}{\partial t} + \frac{\partial}{\partial x} (\rho u) &= 0, \quad \frac{\partial}{\partial t} (\rho u) + \frac{\partial}{\partial x} (p + \rho u^2) = 0, \\ \frac{\partial}{\partial t} \left[ \rho \left( \frac{1}{\gamma-1} \frac{p}{\rho} + \frac{u^2}{2} \right) \right] + \frac{\partial}{\partial x} \left[ \rho u \left( \frac{\gamma}{\gamma-1} \frac{p}{\rho} + \frac{u^2}{2} \right) \right] - \frac{\partial q}{\partial x} &= 0, \\ \frac{\partial q}{\partial x} &= K(\rho, T) q, \quad p = \frac{R}{\mu} \rho T. \end{aligned}$$

Здесь  $p$ ,  $\rho$ ,  $T$  и  $u$  — давление, плотность, температура и скорость испаренного вещества;  $R$  — универсальная газовая постоянная;  $\mu$  — молярная масса;  $\gamma$  — показатель адиабаты. Член  $\partial q / \partial x$  описывает поглощение энергии с коэффициентом поглощения  $K(\rho, T)$ . Конкретизация коэффициента поглощения дает возможность на основе рассматриваемой системы уравнений описывать процессы как в парах (поглощение электронного луча), так и в полностью ионизованной плазме (поглощение лазерного излучения).

Уравнение теплопроводности для расплава записывается как

$$(1.2) \quad \frac{\partial T_{jk}}{\partial t} + U \frac{\partial T_{jk}}{\partial x} = a_{jk} \frac{\partial^2 T_{jk}}{\partial x^2},$$

где  $a_{jk}$  — коэффициент температуропроводности;  $T_{jk}$  — температура расплава.

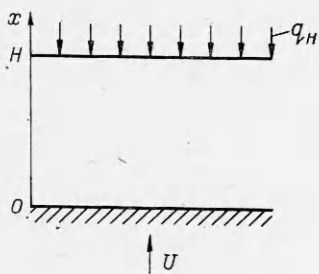


Рис. 1

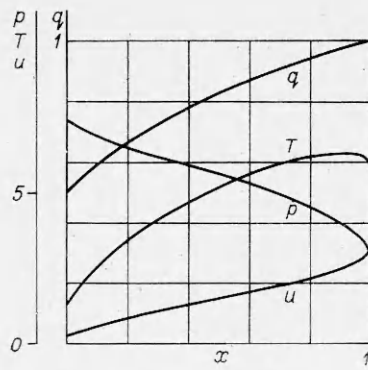


Рис. 2

Уравнения (1.1) и (1.2) дополняются следующими граничными условиями:

$$(1.3) \quad \rho_{ж} u_{ж} = \rho u;$$

$$(1.4) \quad p_{ж} = p + \rho u^2;$$

$$(1.5) \quad q = \rho u \left( L_{исп} + \frac{u^2}{2} \right) + \lambda_{ж} \frac{\partial T_{ж}}{\partial x};$$

$$(1.6) \quad T_{ж} = T;$$

$$(1.7) \quad p_{ж} = B \exp \left( -\frac{\mu L_{исп}}{RT_{ж}} \right);$$

$$(1.8) \quad q(H) = q_H;$$

$$(1.9) \quad u(H) = \sqrt{\gamma \frac{R}{\mu} T(H)};$$

$$(1.10) \quad T_{ж}(-\infty, t) = T_\infty.$$

Здесь  $B = \text{const}$ ;  $L_{исп}$  и  $\lambda_{ж}$  — удельная теплота испарения и коэффициент теплопроводности конденсированной фазы;  $p_{ж}$ ,  $\rho_{ж}$  и  $u_{ж}$  — давление, плотность и скорость этой фазы. Условия (1.3)–(1.7) записаны на границе фазового перехода, которая при меняющейся во времени величине  $q_H$  не совпадает с уровнем  $x = 0$ . Первые три из них являются условиями непрерывности потоков массы, импульса и энергии, а соотношения (1.6) и (1.7) — уравнение Клапейрона — Клаузиуса — описывают равновесное испарение. Условие Жуге (1.9) в общем случае, строго говоря, не выполняется. В [12] показана его справедливость для стационарного режима. Для случая малых отклонений от стационарного режима, рассматриваемого в п. 3, использование условия Жуге — дополнительная гипотеза, принятая для приближенного анализа процесса резонансного воздействия.

Система уравнений, сходная с (1.1), рассматривалась в [13]. В отличие от [13] в данной работе источник энергии предполагается расположенным на конечном расстоянии от мишени. Условие  $K = 0$  при  $x > H$ , введенное в [12] для длинного и узкого канала, физически соответствует быстрому расширению паров при выходе из канала глубиной  $H$ , вследствие чего их плотность падает и они становятся прозрачными для луча. В дальнейшем рассматриваются гидродинамические процессы для слабоионизованных паров ( $K = \alpha \rho$ ,  $\alpha = \text{const}$ ).

**2. Стационарный режим.** Для потока энергии, не зависящего от времени, система уравнений (1.1) допускает стационарное решение, впервые полученное в [12]. После проведения обезразмеривания она может быть записана как

$$(2.1) \quad \rho u = f = \text{const}, \quad p + \rho u^2 = \varphi = \text{const},$$

$$\rho u \left( \frac{\gamma}{\gamma-1} \frac{p}{\rho} + \frac{u^2}{2} \right) - Qq = \text{const},$$

$$dq/dx = l \rho q, \quad p = \rho T,$$

где  $Q = [q]/([\rho][u]^3)$ ;  $l = \alpha[\rho][x]$ . За характерные параметры приняты величины  $[q] = q_H$ ,  $[T] = T_k$ , где  $T_k$  — температура кипения материала при атмосферном давлении,  $[p] = 10^5$  Па,  $[\rho] = \mu[p]/(R[T])$ ,  $[u] = (R[T]/\mu)^{1/2}$ ,  $[x] = H$ . Образованные граничные условия после ряда преобразований имеют вид

$$(2.2) \quad \begin{aligned} \varphi &= \exp \{L[1 - 1/T(0)]\}, \\ Qq(0) &= f\{L + C[T(0) - \bar{T}_\infty] + u^2(0)/2\}, \\ q(1) &= 1, \quad u(1) = \sqrt{\gamma T(1)}, \end{aligned}$$

где  $L = \mu L_{\text{исп}}/(R[T])$ ;  $C = \mu c_{jk}/R$ ;  $\bar{T}_\infty = T_\infty/[T]$ ;  $c_{jk}$  — теплоемкость расплава. Для простоты во втором из уравнений (2.2) не учитываются затраты энергии на плавление твердой фазы и теплоемкости твердого и жидкого металлов считаются равными.

После преобразований систему (2.1) можно свести к одному дифференциальному уравнению относительно  $q$

$$(2.3) \quad \frac{dq}{dx} = lfq \left\{ \frac{\gamma}{\gamma+1} \frac{\varphi}{f} \pm \sqrt{\left[ \frac{\gamma}{\gamma+1} \frac{\varphi}{f} - u(0) \right]^2 - 2 \frac{\gamma-1}{\gamma+1} \frac{Q}{f} [q - q(0)]} \right\}.$$

Знак + соответствует сверхзвуковому течению газа, знак — дозвуковому. В нашем случае (при испарении в вакуум) в области  $0 \leq x < H$  скорость газа меньше скорости звука [12]. Из первых двух уравнений (2.2) с учетом (2.1) получим трансцендентное уравнение, связывающее  $T(0)$  с  $q(0)$  и  $u(0)$ :

$$(2.4) \quad \begin{aligned} Qq(0) &= \exp \{L[1 - 1/T(0)]\} \{L + C[T(0) - \bar{T}_\infty] + \\ &+ u^2(0)/2\} / [T(0)/u(0) + u(0)]. \end{aligned}$$

Теперь, чтобы решить (2.3), поступим следующим образом. Зададимся произвольными значениями  $q(0)$  и  $u(0)$ , взятыми в разумных пределах. Из (2.4) определим  $T(0)$ , а из первых двух уравнений (2.2)  $f$  и  $\varphi$ . Зная коэффициенты уравнения (2.3) и значение  $q(0)$ , можно численно проинтегрировать это уравнение, а затем найти значения всех газодинамических величин при  $x = 1$ . Проверка выполнения двух последних условий (2.2) позволяет оценить правильность выбора  $q(0)$  и  $u(0)$ .

Стационарное распределение параметров испаренного вещества по  $x$  показано на рис. 2. Расчет проведен при  $Q = 50$  (для многих металлов изменению  $Q$  в пределах 10—100 соответствуют значения  $q_H \sim 10^9$ — $10^{10}$  Вт/м<sup>2</sup>),  $L = 10$ ,  $l = 0,5$ ,  $C = 5$ ,  $\bar{T}_\infty = 0,1$ .

**3. Периодическое воздействие.** Рассмотрим влияние малого периодического возмущения, накладываемого на постоянный поток энергии, на газодинамические характеристики пара. Положим

$$(3.1) \quad \begin{aligned} f &= f_0 + f_1, \quad \varphi = \varphi_0 + \varphi_1, \quad \psi = \psi_0 + \psi_1, \quad p = p_0 + p_1, \quad \rho = \rho_0 + \rho_1, \\ T &= T_0 + T_1, \quad u = u_0 + u_1, \quad q = q_0 + q_1, \\ \xi &= 0 + \xi_1, \quad T_k = T_{k0} + T_{k1}. \end{aligned}$$

Здесь  $f = \rho u$ ;  $\varphi = p + \rho u^2$ ;  $\psi = \frac{\gamma}{\gamma-1} \frac{p}{\rho} + \frac{u^2}{2}$ ;  $\xi$  — координата границы фазового перехода (она равна 0 при стационарном испарении). Необходимость введения новых функций  $f$ ,  $\varphi$  и  $\psi$  будет показана ниже. Величины с индексом 0 соответствуют стационарному процессу, величины с индексом 1 — малые периодические возмущения, имеющие вид

$$(3.2) \quad F_1 = F_*(x) \exp(i\omega t), \quad \xi_1 = \xi_* \exp(i\omega t),$$

где  $F$  обозначает каждую из функций  $f$ ,  $\varphi$ ,  $\psi$ ,  $p$ ,  $\rho$ ,  $T$ ,  $u$ ,  $q$  и  $T_k$ .

Подставим (3.1) с учетом (3.2) в предварительно обезразмеренные уравнения (1.1). После линеаризации и ряда преобразований получим систему обыкновенных дифференциальных уравнений относительно амплитуд возмущений газодинамических величин:

$$(3.3) \quad \begin{aligned} df_*/dx &= -i\Omega\rho_*, \quad d\varphi_*/dx = -i\Omega f_*, \\ d\Psi_*/dx &= -i\Omega(\psi_*/u_0 - p_*/f_0) + \psi'_0(q_*/q_0 - u_*/u_0), \\ dq_*/dx &= l(\rho_0 q_* + q_0 \rho_*), \end{aligned}$$

где  $\Omega = \omega H/[u]$ ; за масштабы величин приняты  $[t] = \omega^{-1}$ ,  $[f] = [\rho][u]$ ,  $[\varphi] = [p]$ ,  $[\psi] = [u]^2$ . Штрих здесь и далее обозначает дифференцирование по  $x$ . Между  $f_*$ ,  $\varphi_*$ ,  $\psi_*$  и  $p_*$ ,  $\rho_*$ ,  $u_*$  имеется однозначное соответствие, нарушающее лишь в точке  $x = 1$ . Так,

$$(3.4) \quad \begin{aligned} f_* &= u_0 \rho_* + \rho_0 u_*, \quad \varphi_* = p_* + u_0^2 \rho_* + 2f_0 u_*, \\ \Psi_* &= \frac{\gamma}{\gamma-1} \left( \frac{p_*}{\rho_0} - \frac{p_0}{\rho_0^2} \rho_* \right) + u_0 u_*. \end{aligned}$$

Выражая из (3.4)  $p_*$ ,  $\rho_*$ ,  $u_*$ , получим

$$(3.5) \quad \begin{aligned} \rho_* &= \frac{-(\gamma+1)u_0 f_* + \gamma \varphi_* - (\gamma-1)\rho_0 \Psi_*}{\gamma T_0 - u_0^2}, \\ u_* &= \frac{(\gamma \varphi_0 f_* - \gamma f_0 \varphi_*)/\rho_0^2 + (\gamma-1)u_0 \Psi_*}{\gamma T_0 - u_0^2}, \\ p_* &= \frac{[-2\gamma u_0 \varphi_0 / \rho_0^2 + (\gamma+1)u_0^3] f_* + [\gamma T_0 + (\gamma-1)u_0^2] \varphi_* - (\gamma-1)f_0 u_0 \Psi_*}{\gamma T_0 - u_0^2}. \end{aligned}$$

Если записать систему уравнений (3.3) для производных от  $p_*$ ,  $\rho_*$  и  $u_*$ , то точка  $x = 1$  будет для нее особой (в этой точке  $\gamma T_0 = u_0^2$ ). При выбранном же виде системы точка  $x = 1$  особой не является. Этим и объясняется переход к величинам  $f$ ,  $\varphi$  и  $\Psi$ .

Из уравнения теплопроводности (1.2) после обезразмеривания и подстановки  $T_{jk}$  из (3.1) с учетом (3.2) получается уравнение для амплитуды возмущения температуры конденсированной фазы:

$$(3.6) \quad \frac{d^2 T_{jk*}}{dx^2} - \frac{dT_{jk*}}{dx} - i \frac{\Omega}{k(\bar{\rho}f_0)^2} T_{jk*} = 0.$$

Здесь  $k = [u]H/a_{jk}$ ;  $\bar{\rho} = [\rho]/\rho_{jk}$ ; за масштаб длины принята величина  $a_{jk}/U$ . Решение (3.6)

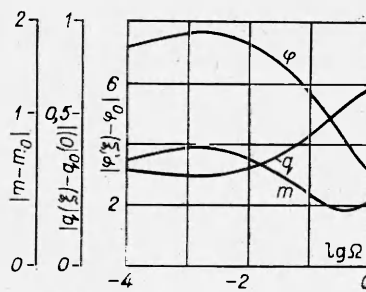
$$T_{jk*}(x) = C_1 e^{b_1 x} + C_2 e^{b_2 x}, \quad b_{1,2} = \frac{1}{2} \left( 1 \pm \sqrt{1 + 4i \frac{\Omega}{k(\bar{\rho}f_0)^2}} \right)$$

должно удовлетворять двум граничным условиям: условию постоянства температуры при  $x \rightarrow -\infty$  и условию равенства температур расплава и паров на границе испарения. Первое из них дает  $C_2 = 0$ , а второе позволяет выразить  $C_1$  через амплитуды возмущений других величин:

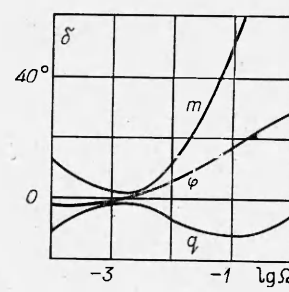
$$C_1 = T_{jk}(0) + \left[ \frac{T'_0(0)}{k\bar{\rho}f_0} - T_0(0) + \bar{T}_{\infty} \right] \xi_*.$$

Для амплитуд возмущений имеется еще пять граничных условий: условие непрерывности потока вещества при  $x = \xi$

$$(3.7) \quad f_*(0) = -i \frac{\Omega}{k\bar{\rho}^2 f_0} \xi_*;$$



Р и с. 3



Р и с. 4

условие непрерывности потока энергии при  $x = \xi$

$$(3.8) \quad Qq_*(0) - [L + u_0^2(0)/2]f_*(0) - f_0u_0(0)u_*(0) - Cf_0b_1C_1 + \\ + \{[Qq'_*(0) - f_0u_0(0)u'_*(0)]/(k\bar{\rho}f_0) - Cf_0[T_0(0) - \bar{T}_\infty]\}\xi_* = 0;$$

уравнение Клапейрона — Клаузиуса

$$(3.9) \quad \varphi_*(0) = \frac{L\varphi_0}{T_0^2(0)} \left[ T_*(0) + \frac{T'_0(0)}{k\bar{\rho}f_0} \xi_* \right];$$

условие для амплитуды возмущения потока энергии  $q_H$

$$(3.10) \quad q_*(1) = 1;$$

условие Жуге

$$(3.11) \quad p_*(1) = p_0(1) \left[ 2 \frac{u_*(1)}{u_0(1)} + \frac{\rho_*(1)}{\rho_0(1)} \right].$$

Ход решения системы (3.3) следующий. В точке  $x = 1$  дополнительно к  $q_*(1)$  из (3.10) задавались произвольным образом  $u_*(1)$  и  $\rho_*(1)$ . Из условия (3.11) определялось  $p_*(1)$ , а из соотношений (3.4)  $f_*(1)$ ,  $\varphi_*(1)$  и  $\psi_*(1)$ . Такая последовательность вычислений позволяет выйти из точки  $x = 1$  с конечными производными (3.3), что невозможно сделать при непосредственном задании  $f_*(1)$ ,  $\varphi_*(1)$  и  $\psi_*(1)$ . Определяя в результате численного интегрирования системы (3.3) амплитуды возмущений в точке  $x = 0$ , можно проверить правильность задания  $u_*(1)$  и  $\rho_*(1)$  по выполнению условий (3.7) — (3.9).

На рис. 3 и 4 показаны результаты решения системы уравнений (3.3) при следующих значениях безразмерных чисел:  $Q = 50$ ,  $L = 10$ ,  $l = 0,5$ ,  $C = 5$ ,  $\bar{T}_\infty = 0,1$ ,  $\bar{\rho} = 2,5 \cdot 10^{-5}$ ,  $k = 2 \cdot 10^5$ . На рис. 3 представлены

амплитуды величин  $\varphi(\xi) = \varphi_0$ ,  $q(\xi) = q_0(0)$ ,  $m - m_0 = \int_{\xi}^1 \rho dx - \int_0^1 \rho_0 dx$ ,

а на рис. 4 — сдвиг по фазе  $\delta$  этих величин относительно фазы величины  $q_1(1)$ . Значения амплитуд вычислены с точностью до постоянного множителя, который определяется выбором отношения  $q_*(1)/q_0(1)$ . Особенность полученных результатов — наличие резонансного режима для давления на поверхность расплава  $p_{Jk}(\xi) = \varphi(\xi)$  при поглощении энергии в испарившемся веществе. Отметим, что, согласно [3, 14], давление отдачи играет определяющую роль в механизме «кинжалного» проплавления материала. Результаты расчетов при различных значениях  $Q$ ,  $l$  и  $k$  сведены в таблицу. Если задаться конкретным металлом и коэффициентом  $\alpha$  в законе поглощения энергии  $\partial q/\partial x = \alpha \rho q$ , то от безразмерных параметров можно перейти к размерным. Размерные величины в таблице посчитаны для железа и энергии пучка электронов 25 кэВ (при этом коэффициент  $\alpha$ , обратно пропорциональный квадрату энергии электронов [3], равен 384 м<sup>2</sup>/кг).

$Q$	$l$	$k \cdot 10^{-5}$	$\Omega_{\text{рез}} \cdot 10^3$	$\omega_{\text{рез}}, \text{Гц}$	$q_0(H) \cdot 10^{-9}, \frac{\text{Вт}}{\text{м}^2}$	$H, \text{мм}$
50	0,5	2	1,8	190	3,5	6,5
50	0,4	0,4	0,85	460	3,5	1,3
10	0,5	2	0,25	27	0,7	6,5

Анализ рис. 3 и 4 показывает, что при резонансной частоте максимальному значению модуля  $\int_{\xi}^1 \rho dx$  соответствует минимальный сдвиг по фазе этой величины относительно фазы  $q(1)$ . Такое совпадение позволяет представить физический механизм резонанса в рассматриваемой системе как создание самосогласованного режима, при котором в момент подачи максимальной энергии в систему в области  $\xi < x < H$  находится максимальная масса испаренного вещества  $\int_{\xi}^H \rho dx$ , определяющая поглощение энергии. Поглощение энергии приводит к росту скорости разлета паров и давления в парах, что в конечном счете и создает условие максимума для давления отдачи на поверхность расплава.

#### ЛИТЕРАТУРА

1. Анисимов С. И., Имае Я. А., Романов Г. С., Ходыко Ю. В. Действие излучения большой мощности на металлы. М.: Наука, 1970.
2. Рыкалин Н. Н., Углов А. А., Кокора А. Н. Лазерная обработка материалов. М.: Машиностроение, 1975.
3. Рыкалин Н. Н., Зуев И. В., Углов А. А. Основы электронно-лучевой обработки материалов. М.: Машиностроение, 1978.
4. Рыкалин Н. Н., Углов А. А. Воздействие концентрированных потоков энергии (КПЭ) на материалы. Проблемы и перспективы.— ФХОМ, 1983, № 5.
5. Углов А. А., Орехов М. В., Кокора А. Н. Увеличение эффективности размерной обработки излучением ОКГ.— ФХОМ, 1976, № 5.
6. Аверин А. П., Басов Н. Г. и др. Использование импульсно-периодического режима генерации СО<sub>2</sub>-ЭИЛ для лазерной сварки.— ДАН СССР, 1982, т. 266, вып. 4.
7. Samokhin A. A., Guskov A. P. On the behaviour in radiation-induced vaporization of metals.— Phys. Letters, 1980, v. 77A, N 5.
8. Самохин А. А., Успенский А. Б. Испарение вещества под действием лазерного излучения.— ФХОМ, 1981, № 3.
9. Коротченко А. И., Самохин А. А. Реакция процесса лазерного испарения вещества на модуляцию интенсивности излучения.— Кр. сообщ. по физике. ФИАН им. П. Н. Лебедева, 1980, № 8.
10. Углов А. А., Гуськов А. П. Расчет реакции испарения металлической мишени на модуляцию потока энергии.— ТВТ, 1982, т. 20, № 3.
11. Рыкалин Н. Н., Углов А. А. и др. Автоколебательные процессы при тепловом воздействии концентрированного потока энергии на металлы.— ЖЭТФ, 1983, т. 85, вып. 6.
12. Немчинов И. В. Стационарный режим движения нагреваемых излучением паров вещества при наличии бокового растекания.— ПММ, 1967, т. 31, вып. 2.
13. Афанасьев Ю. В., Крохин О. Н. Газодинамическая теория воздействия излучения лазера на конденсированные вещества.— Тр. ФИАН, 1970, т. 52.
14. Бункин В. Ф., Трибельский М. П. Нерезонансное взаимодействие мощного оптического излучения с жидкостью.— УФН, 1980, т. 130, вып. 2.

Поступила 28/IX 1984 г.